

УДК 504.054

Использование оксидов природного происхождения при создании катализаторов окисления оксида углерода (II)

Н. С. КОБОТАЕВА, Д. А. КАНАШЕВИЧ, А. В. БОРИЛО, Т. С. СКОРОХОДОВА, Е. Е. СИРОТКИНА

Институт химии нефти Сибирского отделения РАН,
проспект Академический, 4, Томск 634021 (Россия)

E-mail: nat@ipc.tsc.ru

(Поступила 21.12.12; после доработки 15.07.13)

Аннотация

Исследованы катализаторы низкотемпературного окисления оксида углерода (II). Показано, что отходы станций водоподготовки, образующиеся при очистке воды от железа, можно использовать в качестве катализаторов данного процесса.

Ключевые слова: окисление оксида углерода (II), катализаторы, гопкалит, отходы станций обезжелезивания подземных вод

ВВЕДЕНИЕ

Реакция окисления оксида углерода (II) – одна из простейших реакций окисления, которую рассматривают в качестве модельной для изучения общих закономерностей окислительных процессов. Кроме того, изучение данной реакции представляет и практический интерес, поскольку оксид углерода (CO) – один из токсикантов, попадающих в воздушный бассейн в результате природных катализмов и человеческой деятельности. Разработка низкотемпературных и стабильных катализитических систем окисления CO – прямой путь для создания эффективно действующих респираторных устройств защиты органов дыхания [1]. В настоящее время для окисления CO кислородом воздуха при комнатных температурах в основном предлагают использовать гетерогенные катализаторы; активно изучаются нанокластеры благородных металлов, в том числе на различных носителях [2]. Можно выделить группу нанесенных металлокомплексных катализаторов на основе соединений платины, палладия и меди [3]. Широко используются золотосодерж-

ящие катализаторы, способные обеспечить удаление CO при низких температурах [4], однако пока не удается достичь необходимых показателей по их активности, устойчивости и сроку службы. В то же время актуальна замена катализаторов на основе благородных металлов на более дешевые оксидные катализаторы. Наибольший интерес в этом плане представляют каталитические системы на основе металлов переменной валентности (Fe , Co , Ni) [5, 6].

Одни из наиболее известных и работающих при комнатных температурах катализаторов окисления CO – гопкалиты [7, 8]. Гопкалит представляет собой смесь оксидов (MnO , CuO , Ag_2O) на различных носителях и используется в противогазах для защиты органов дыхания от углекислого газа. Основной недостаток гопкалитовых катализаторов заключается в том, что они дезактивируются в присутствии паров воды, что сильно ограничивает их практическое использование.

При создании катализаторов окисления CO интерес могут представлять и природные оксиды и оксогидроксиды переходных металлов. Так, например, в регионах с высоким содер-

жанием железа в подземных водах отходы станций водоподготовки при очистке воды от железа преимущественно представлены оксидами железа и марганца на естественных носителях (песок, глина, горелые породы).

В Томской области находится одно из крупнейших месторождений железа, которое оказывает большое влияние на состав воды. Взаимодействие минералов и горных пород с подземными водами сопровождается значительной минерализацией вод, поэтому все подземные воды Томского региона содержат в больших количествах железо – зачастую более 20–30 мг/л. В процессе очистки воды от железа выпадает значительное количество осадка, основу которого составляют различные формы оксидов и оксогидроксидов железа и марганца. Традиционные способы утилизации отходов станций обезжелезивания основаны, прежде всего, на малом размере частиц осадка. Дисперсность природных оксидов достаточно высока: размер частиц осадка, высушенного при температуре 25 °С, как правило, составляет 0.02–0.03 мкм, что соответствует наименованию вещества [9]. Имеются сведения об использовании отходов станций водоподготовки, активированных при различных температурах, в качестве активного сорбента для очистки воды от нефтепродуктов и фенолов [10] и катализаторов процесса окисления углеводородов [11].

ЭКСПЕРИМЕНТАЛЬНАЯ ЧАСТЬ

Катализаторы готовили из отходов станций водоподготовки при очистке воды от железа следующим образом. Осадок смеси оксидов и оксогидроксидов металлов, образовавшийся в результате аэрации подземных вод, осаждали на фильтре (кварцевый песок). Влажный осадок взмучивали, отделяли седimentацией крупные частицы от мелких и получали две фракции (I и II), которые сушили при температуре 25 °С.

Фракцию I сушили, растирали в агатовой ступке и седimentацией отделяли фазу I с размером частиц 0.1–0.15 мкм (ПЭМ ВР). Состав фазы I: 85 % MnO₂, остальное – SiO₂, Al₂O₃, CaCO₃, MgCO₃. При создании катали-

заторов фазу I использовали полностью, без выделения SiO₂, Al₂O₃, CaCO₃, MgCO₃, поскольку данные оксиды и соли не активны в реакции окисления.

Из фракции II выделяли фазу II с размером частиц 0.02–0.03 мкм, которая на 98.0–99.0 % состоит из аморфных оксогидроксидов железа с небольшими примесями (до 0.1 %) оксидов других металлов (Si, Sr, Ca, Mn, Zn, Ba) [12].

Для исследования фазового состава фаз I и II образцы сушили при температурах 25, 100, 200, 250, 300, 500 °С в атмосфере кислорода воздуха в сушильном и муфельном шкафах WS 31, ПМ-10.

Фазовый состав определяли методом рентгенофазового анализа (дифрактометр Shimadzu XRD-6000, CuK_α-излучение с базой данных PCPDFWIN).

Удельную поверхность смеси оксидов и оксогидроксидов определяли с использованием метода тепловой десорбции азота на установке “Сорбтометр М” с расчетом многоточечным методом БЭТ в автоматическом режиме.

Размер и форму частиц в исследуемых композициях определяли с помощью метода просвечивающей электронной микроскопии на электронном микроскопе JEM-100 CX II JEOL.

Активность каталитических систем в реакции окисления CO определяли при температурах 20, 30, 35, 40 °С и атмосферном давлении в стеклянном реакторе проточного типа (объем загружаемого катализатора был постоянным и составлял 12 см³). Реакционную смесь, содержащую 5.0 об. % CO и 95.0 об. % воздуха, предварительно термостатировали до нужной температуры и подавали в реактор с объемной скоростью, равной 1200 ч⁻¹. По результатам анализа рассчитывали молярные доли CO и CO₂ в исходной (ИС) и конечной (КС) реакционной смесях. Степень превращения CO вычисляли как отношение разности молярных долей CO в ИС и КС к молярной доле CO в ИС. Концентрацию CO на выходе и входе определяли с помощью электрохимического газоанализатора оксида углерода К-100.

Катализатор сравнения K-1, подобный гопкалиту, готовили из активного диоксида марганца (MnO₂), оксида меди (CuO) и оксида серебра (Ag₂O). Оксиды, входящие в состав катализатора, синтезировали по методикам, описанным в [13].

ТАБЛИЦА 1

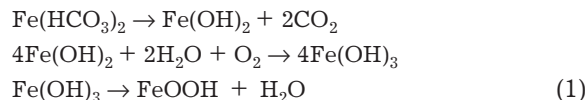
Химический состав осадка

Основные компоненты	Концентрация, %	
	Фракция I	Фракция II
SiO ₂	3.56	12.90
Al ₂ O ₃	7.99	19.03
Fe ₂ O ₃	12.59	31.80
MnO	39.10	5.98
CaCO ₃	8.93	6.17
MgCO ₃	9.99	1.10

Примечание. Фракция I – крупнозернистая фаза осадка; фракция II – дисперсная фаза осадка.

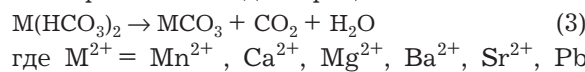
РЕЗУЛЬТАТЫ И ОБСУЖДЕНИЕ

Минеральный осадок, образующийся в результате процесса обезжелезивания (окисления) минеральных солей подземных вод Томского региона, во влажном состоянии имеет сметанообразную консистенцию желто-коричневого цвета. Формирование осадка можно описать следующими процессами:



Суммарная реакция имеет следующий вид:
 $4\text{Fe}(\text{HCO}_3)_2 + \text{O}_2 \rightarrow 4\text{FeOOH} + 8\text{CO}_2 + 2\text{H}_2\text{O}$ (2)

Параллельно идет процесс



Химический состав осадка, выделенного при очистке воды и высушенного при температуре 25 °C, представлен в табл. 1 [9].

При нагревании от 25 до 500 °C фазовый состав оксидов железа (фаза II) и удельная поверхность значительно изменяются (табл. 2). Видно, что удельная поверхность уменьшается по мере увеличения температуры нагревания. Основная фаза в образцах, прокаленных до температуры 300 °C, – аморфная, с появлением следовых количеств кристаллических структур при нагревании. В осадке, активированном при 500 °C, обнаружено 50 % кристаллических структур, 21 % из которых составляет минерал магнетит (Fe_3O_4). Структурный состав фазы I фактически остается без изменений.

На электронных фотографиях (ПЭМ ВР) осадка, высушенного при температурах 25 и 500 °C (рис. 1), видно, что образец, высушенный при 25 °C, имеет зернистую структуру с очень мелким размером зерна (5–10 нм) (см. рис. 1, a). Начальные образования сильно агломерированы, но агломераты достаточно рыхлые и имеют овальную или круглую форму. Встречаются и более плотные включения, которые при повышении температуры все более уплотняются, вероятно, за счет сил межмолекулярного взаимодействия.

При создании катализаторов К-2-К-5 с использованием оксидов природного происхождения в качестве основного компонента брали фазу I, к которой добавляли оксиды железа (фаза II), меди и серебра в различных

ТАБЛИЦА 2

Фазовый состав и удельная поверхность ($S_{уд}$) оксогидроксида железа (ОГЖ) при различных температурах обработки

Образцы*	Содержание, %							$S_{уд}, \text{ м}^2/\text{г}$
	Аморфная фаза	$\gamma\text{-Fe}_2\text{O}_3$	$\alpha\text{-Fe}_2\text{O}_3$	$\alpha\text{-FeOOH}$	$\beta\text{-FeOOH}$	$\gamma\text{-FeOOH}$	Fe_3O_4	
ОГЖ-25	95–98	следы	–	–	–	–	–	230
ОГЖ-100	95–98	следы	–	–	–	–	–	206
ОГЖ-200	95	следы	следы	–	–	–	–	197
ОГЖ-250	90	4.3	5.5	–	–	–	–	172
ОГЖ-300	90	следы	следы	–	5.1	5.2	–	142
ОГЖ-500	50	следы	1.0	4.0	6.0	12.0	21.0	128

Примечание. Прочерк – отсутствует.

* В названии указаны температура сушки образца.

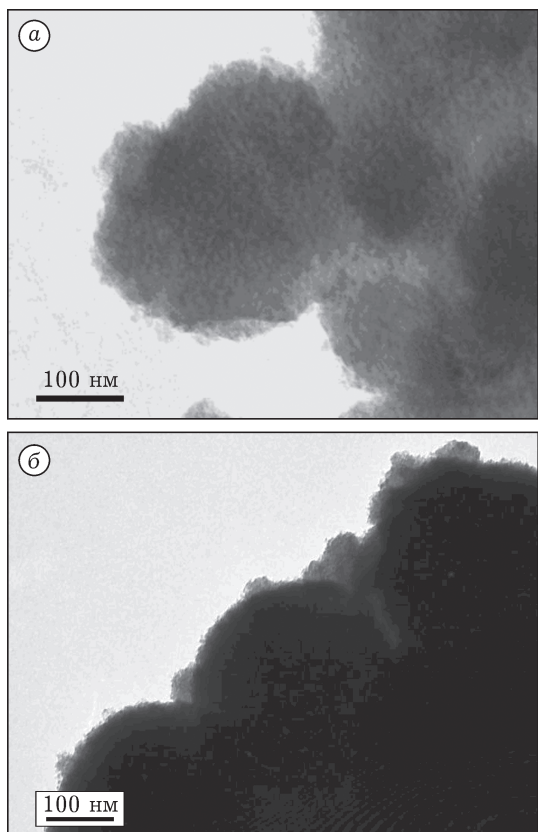


Рис. 1. Электронные фотографии (ПЭМ ВР) оксогидроксида железа, активированного при 25 (а) и 500 (б) °С.

соотношениях. Кроме того, в качестве образца сравнения был приготовлен катализатор, идентичный по составу катализатору, который используется в гопкалитовом патроне (образец К-1). Состав катализаторов представлен в табл. 3.

Активность образцов исследовали в реакции окисления оксида углерода. На рис. 2 представлены данные по степени конверсии оксида углерода (II) на катализаторах К-1–К-5

ТАБЛИЦА 3

Состав катализаторов окисления оксида углерода (II)

Образцы	Концентрация, %				
	MnO	Фаза I	FeOOH	CuO	Ag ₂ O
К-1	65.0	—	—	30.0	5.0
К-2	—	70.0	25.0	—	5.0
К-3	—	75.0	20.0	—	5.0
К-4	—	70.0	—	25.0	5.0
К-5	—	60.0	—	35.0	5.0

Примечание. Прочерк — отсутствует.

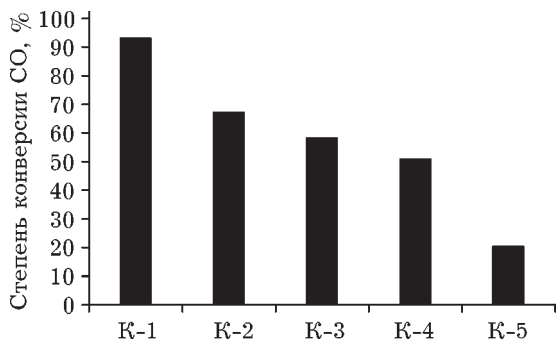


Рис. 2. Степень конверсии оксида углерода (II) на различных катализаторах при температуре 20 °С.

при температуре 20 °С. Видно, что степень конверсии CO на катализаторе, подобном гопкалиту (К-1), составляет примерно 90 %. Образцы, приготовленные из отходов станций водоподготовки, имеют более низкую активность, %: К-2 66, К-3 58, К-4 51, К-5 20. Таким образом, при комнатной температуре активность образцов, приготовленных из отходов станций водоподготовки, несколько ниже по сравнению с активностью катализатора, подобного гопкалиту. Однако при незначительном увеличении температуры на катализаторе, подобном гопкалиту, степень конверсии CO резко снижается, в то время как в случае катализатора, приготовленного из отходов станций водоподготовки, она остается прежней (рис. 3). Снижение степени конверсии в данном случае можно объяснить дезактивацией катализатора К-1 из-за увеличения давления паров воды при предварительном подогреве газовой смеси.

Катализаторы на основе отходов станций водоподготовки сохраняют свою активность.

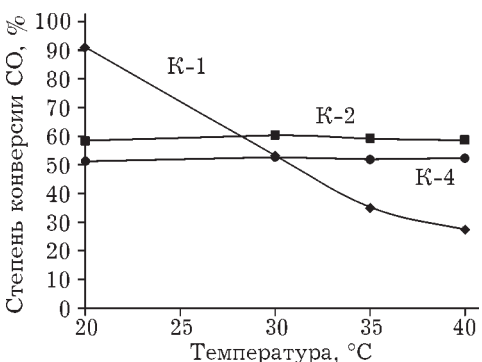


Рис. 3. Зависимость степени конверсии оксида углерода в углекислый газ от температуры в присутствии катализаторов К-1, К-2, К-4.

Возможно, на стадии формирования осадков под влиянием внешних воздействий (вода, кислород воздуха, органические соединения) изменяется структура природных оксигидроксидов. Подобные предположения сделаны в работе [12] на основании изучения ИК-спектров минерального осадка, полученного при очистке артезианской воды от железа.

ЗАКЛЮЧЕНИЕ

Таким образом, полученные результаты свидетельствуют о перспективности использования оксогидроксидов железа и марганца, полученных из отходов станций водоподготовки при очистке воды от железа, в качестве катализаторов процесса окисления оксида углерода (II).

СПИСОК ЛИТЕРАТУРЫ

1 Радкевич В. З., Сенько Т. Л., Хаминец С. Г., Вильсон К., Егизаров Ю. Г. // Кинетика и катализ. 2008. Т. 49, № 4. С. 570–576.

- 2 Haruta M., Yamada N., Kobayashi T., Iijima S. // J. Catal. 1989. Vol. 115. P. 301–309.
- 3 Ракитская Т. Л., Эннан А. А., Паина В. Я. Катализаторы низкотемпературного окисления монооксида углерода. М.: ЦИНТИХИМНЕФТЕМАШ, 1991. 40 с.
- 4 Пыряев П. А., Мороз Б. Л., Зюзин Д. А., Нартова А. В., Бухтияров В. И. // Кинетика и катализ. 2010. Т. 51, № 6. С. 914–922.
- 5 Вершинин Н. Н., Гольдшлегер Н. Ф., Ефимов О. Н., Гусев А. Л. // Альтернативная энергетика и экология. 2008. № 8. С. 99–108.
- 6 Matsuda S. // J. Chem. Phys. 1972. Vol. 57, No. 2. P. 807–812.
- 7 Кац М. Гетерогенное окисление оксида углерода. Катализ. Катализаторы органических реакций. М.: Изд-во иностр. лит., 1955. С. 291.
- 8 Завадский А. В., Ткаченко С. Н., Киреев С. Г., Мухин В. М., Чебыкин В. В., Клушин В. Н., Тепляков Д. Э. // Вестн. Московского ун-та. Сер. 2. Химия. 2001. Т. 42, № 6. С. 379–381.
- 9 Покровский Д. С., Дутова Е. М., Рогов Г. М., Вологдина И. В., Тайлашев А. С. Минеральные новообразования на водозаборах Томской области / Под. ред. Д. С. Покровского. Томск: Изд-во НТЛ, 2002. С. 82.
- 10 Новоселова Л. Ю., Сироткина Е. Е., Погадаева Н. И. // Нефтехимия. 2008. Т. 48, № 1. С. 64–68.
- 11 Коботаева Н. С., Скороходова Т. С., Сироткина Е. Е. // Нефтепереработка и нефтехимия. 2010. № 12. С. 25–29.
- 12 Писарева С. И., Сироткина Е. Е., Каменчук Я. А., Рябова Н. В. // Материалы VI Междунар. конф. "Химия нефти и газа". Томск, 2006. С. 523–526.
- 13 Корякин Ю. В., Ангелов И. И. Чистые химические вещества. М.: Химия, 1974. С. 226, 236, 336.